

В.Д. Александров, О.В. Соболев, М.В. Савенков

Дослідження передкристалізаційних переохолоджень в системі вода – пентагідрат тіосульфату натрію

Донбаська національна академія будівництва та архітектури,
86123, Україна, Донецька обл., м. Макіївка, вул. Державіна, 2, E-mail: cluck@mail.ru

Дана робота присвячена експериментальному дослідженню передкристалізаційних переохолоджень і характеру кристалізації зразків у системі вода – п'ятиводний тіосульфат натрію (ТСН-5) методом циклічного термічного аналізу (ЦТА).

Ключові слова: кристалізація, тіосульфат натрію п'ятиводний, переохолодження, циклічний термічний аналіз

Стаття постуила до редакції 14.04.2007; прийнята до друку 14.09.2007.

Впливові термічної передісторії рідкої фази на кристалізацію переохолоджених розплавів присвячено досить багато робіт [1-8]. Подібні дослідження в основному проводилися на простих хімічних речовинах, сплавах і деяких хімічних сполуках. У цьому плані маловивченими є такі розповсюджені об'єкти як кристалогідрати, що

знаходять усе зростаюче застосування як акумулятори теплоти і холоду, тверді електроліти й ін.

Діаграма стану $H_2O - Na_2S_2O_3$ (рис. 1, ліворуч) є діаграмою евтектичного типу з інконгруентною крапкою плавлення $T_L = 48,2^\circ C$ при концентрації тіосульфату натрію (ТСН) $C_i = 61,5$ вага % [8].

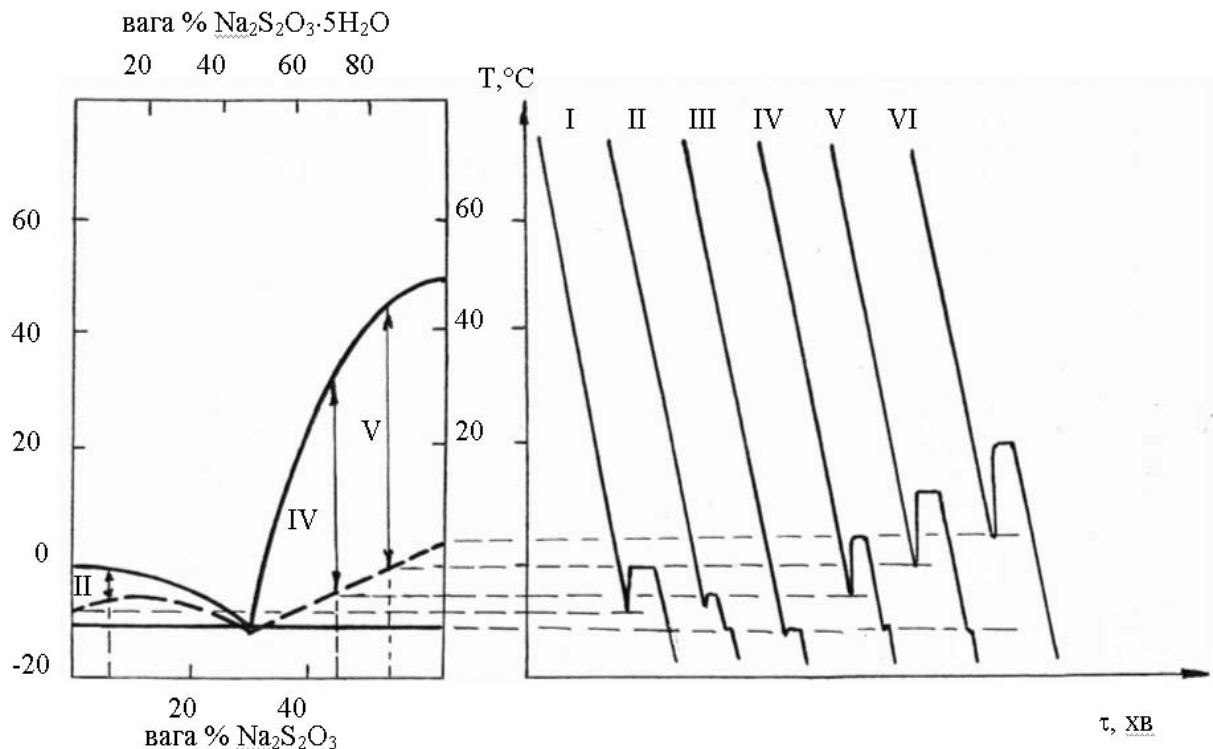


Рис. 1. Діаграма стану системи $H_2O - Na_2S_2O_3 \cdot 5H_2O$ із указівкою фізичних переохолоджень і характерних кривих охолодження.

Евтектика приходиться на температуру $T_c = -12^\circ\text{C}$ при концентрації ТСН 29 вага %. Для доевтектичних розчинів у процесі затвердіння нижче лінії ліквідус T_L^* викристалізується в основному лід з незначним змістом евтектичної суміші лід – ТСН.

У заевтектичній зоні випадають великі кристали п'ятиводного тіосульфату натрію ТСН-5 ($\text{Na}_2\text{S}_2\text{O}_3 \cdot 5\text{H}_2\text{O}$) із дрібнозернистої евтектичної суміші льоду – ТСН-5. Діаграму вода – ТСН (до 66% ТСН) можна представити також у виді діаграми стану $\text{H}_2\text{O} - \text{Na}_2\text{S}_2\text{O}_3 \cdot 5\text{H}_2\text{O}$ (верхня шкала на рис. 1, ліворуч).

Зразки в системі $\text{H}_2\text{O} (100 - x) - \text{Na}_2\text{S}_2\text{O}_3 \cdot 5\text{H}_2\text{O} (x)$, одержували в наступній пропорції: 0 (I); 12,5 (II); 47,5 (III); 75 (IV); 87,5 (V); 100 вага % (VI). Зразок I – це двічі перегнана дистильована вода. Як зразок VI використовували стандартні кристали $\text{Na}_2\text{S}_2\text{O}_3 \cdot 5\text{H}_2\text{O}$ марки Ч. Розчини складів II – V готували шляхом змішування п'ятиводного тіосульфату натрію з водою. Усі зразки мали однакові маси по 4,0 г, що поміщали в скляні пробірки. Нагрівання й охолодження зразків проводили за допомогою спеціально виготовленої печі опору в інтервалі температур від -18 до $+80^\circ\text{C}$. Для цього установку з піччю і зразками виносили узимку на «вулицю» у безвітряну ясну морозну погоду з температурою повітря $-20 \div -23^\circ\text{C}$. Вимірювальний блок і пульт керування знаходилися в приміщенні. Швидкість нагрівання й охолодження складала $0,08 \div 0,10$ град/с. Температуру записували на діаграмну стрічку за допомогою потенціометра КСП-4 зі шкалою на 2 mV. Погрішність виміру температури складала 0,5 градуса. Вивчено по трьох зразках кожного складу, на кожному з яких проведено понад десяток послідовних термоциклів нагрівання й охолодження. Надійність і вірогідність отриманих результатів ґрунтувалася на збігу реперних крапок з довідковими даними і багаторазовим повторенням відповідних екзо- і ендотермічних ефектів при безперервному термоциклованні.

Дані для окремих зразків.

П'ятиводний тіосульфат натрію (VI). Експерименти показали, що плавлення кристалів хімічної сполуки $\text{Na}_2\text{S}_2\text{O}_3 \cdot 5\text{H}_2\text{O}$ починалося при температурі 44°C і закінчувалося при 48°C , що відповідає температурі плавлення T_L даної речовини [9] (рис. 2).

Надалі дослідження проводилися в два етапи. На першому етапі вивчався вплив перегріву ΔT^+ ($\Delta T^+ = T - T_L$) рідкої фази в інтервалі $0 \div 25^\circ$, а на другому етапі вивчався вплив ΔT^+ в інтервалі $25 \div 32^\circ$ на кристалізацію і різні види переохолодження. Установлено, що температура рівноважного затвердіння рідкої фази T_S була завжди нижче температури плавлення T_L і складала $T_S = 41 \pm 1^\circ\text{C}$, тобто мало місце своєрідне

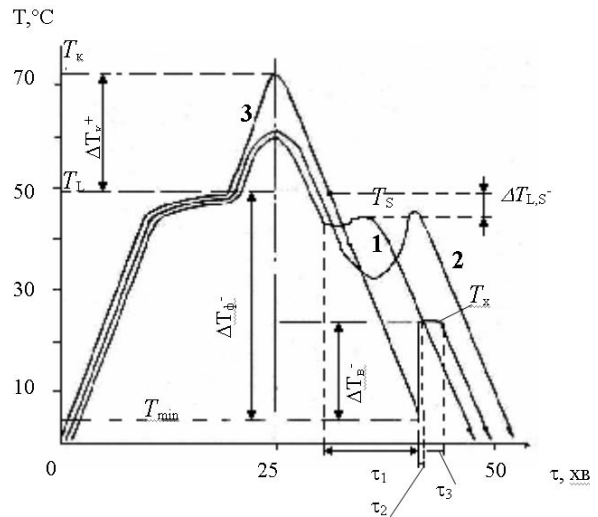


Рис. 2 Схематичні термограми нагрівання й охолодження натрію тіосульфату п'ятиводного, що характеризують перехід від квазірівноважної (1) до монотонної (2) і неравновісно-вибухової (3) кристалізації.

переохолодження $\Delta T_{LS}^- = T_L - T_S$ із середнім значенням $\approx 7^\circ$. При нагріванні рідкої фази на $1-4^\circ$ вище T_L і наступному охолодженні фіксується квазірівноважна кристалізація (КРК) при T_S (рис. 2, крива 1).

При прогріві рідкого гідрату до 70°C , тобто при перегріві ΔT_L^+ відносно T_L на $5-25^\circ$ і наступному охолодженні реєструються три види переохолодження: $\Delta T_{LS}^- = T_L - T_S$, фізичне $\Delta T_{\phi}^- = T_L - T_{min}$ і видиме $\Delta T_{\phi}^- = T_S - T_{min}$; при цьому $\Delta T_{\phi}^- = \Delta T_{LS}^- + \Delta T_{\phi}^-$, де T_{min} – мінімальна температура в області переохолодження перед початком кристалізації (рис. 2, крива 2). При температурі T_{min} починається процес мимовільної кристалізації, що носить монотонний характер і завершується при температурі T_S . Область температур від $+72$ до $+74^\circ\text{C}$ із середнім значенням $+73^\circ\text{C}$ є «критичною» для рідкого гідрату в тім плані, що при перегріві вище T_K^+ і наступному охолодженні різко міняється характер кристалізації від монотонної до вибухової (рис. 2, крива 3). При охолодженні «перегрітої» рідини вище T_K^+ ($\Delta T_L^+ = T_K^+ - T_L \geq 25^\circ$) кристалізація починалася при температурі $T_{min}^+ = +4^\circ\text{C}$, тобто при максимальних переохолодженнях $\Delta T_{\phi}^- \approx 44^\circ$. У даному випадку кристалізація на початковому етапі носила вибуховий характер – при цьому температура стрибком піднімалася від $T_{min}^+ = +4^\circ\text{C}$ до $T_x^+ = +25^\circ\text{C}$ зі швидкістю порядку 40 град/с, а подальше затвердіння відбувалося рівноважно при температурі T_x .

Розрахунки, проведені по термограмах, показали, що загальний час τ затвердіння зразка масою 4 г при швидкості охолодження $0,04$ град/с склало в середньому 15 хв незалежно від виду кристалізації. При цьому час τ складалося з трьох частин $\tau = \tau_1 + \tau_2 + \tau_3$, де τ_1 – інкубаційний період

зародження нової фази, τ_2 – час коагуляції зародків, τ_3 – час наступної масової ізотермічної кристалізації. Для монотонної кристалізації (рис. 2 крива 2) між величинами τ_1 , τ_2 , τ_3 немає чіткі границі. У випадку неравновісно-вибухової кристалізації (НРВК) весь процес має чіткі границі. Для приклада, приведеного на рис. 2 (крива 3) $\tau = 11,69$ хв, $\tau_1 = 11,4$ хв, $\tau_2 = 0,06$ хв, $\tau_3 = 0,23$ хв.

Відносна концентрація α_1 зародків кристалів на момент початку кристалізації у всьому обсязі зразка при температурі T_{\min} дорівнює $\alpha_1 = \frac{\tau_1}{\tau}$. Для кривій 3

(рис. 2) це відношення дає значення $\alpha_1 \approx 0,9$. Відносну концентрацію α_2 зародків на момент їхньої коагуляції в деякому обсязі V_x того ж зразка оцінювали з рівняння теплового балансу $Q_1 \approx Q_2$ без обліку тепловтрат у навколишнє середовище: $Q_1 = c_p m \Delta T_b^-$, $Q_2 = L m_x$ і таким чином

$$\alpha_2 = \frac{m_x}{m} = \frac{V_x}{V} = \frac{c_p \Delta T_b^-}{L}$$

де c_p – питома теплоємність, L – питома теплота плавлення. Розрахунки, проведені по даній формулі при $\Delta T_b^- = 20^\circ$ (рис. 1, крива 3), $c_p = 1,45 \cdot 10^3$ Дж/кгК, $L = 140 \cdot 10^3$ Дж/кг [9] дали значення $\alpha_2 = 0,2$. Подальше затвердіння зразка за час τ_3 , очевидно, відбувається по механізму приєднання до обсягу V_x зародків, що залишилися, в $V - V_x$ обсязі, відносна концентрація яких дорівнює $\alpha_3 = \alpha_1 - \alpha_2$.

На рис. 3 приведені узагальнюючі графіки залежності фізичного ΔT_ϕ^- і «видимого» ΔT_b^- переохолоджень ТСН-5 у залежності від величини попереднього перегріву ΔT^+ рідкої фази. Видно, що зі збільшенням ΔT^+ від нуля до $\Delta T_k^+ \approx 25^\circ$ ступінь передкристалізаційного переохолодження збільшується в середньому до 20° для ΔT_ϕ^- і до 13° для ΔT_b^- . Стрибокподібний перехід від монотонної кристалізації до вибухової відбувається у випадку

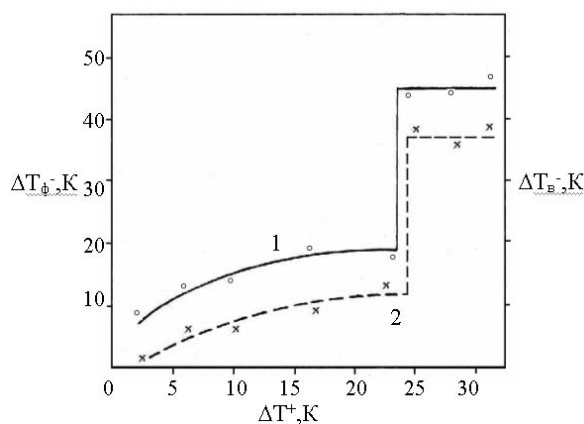


Рис. 3. Залежність фізичного ΔT_ϕ^- (1) і видимого ΔT_b^- (2) переохолоджень при кристалізації натрію тіосульфату п'ятиводного від перегріву ΔT^+ щодо температури плавлення T_L .

попереднього перегріву рідини до деякого середнього значення $\Delta T_k^+ = 25^\circ$. Подальший перегрів рідкої фази вище ΔT_k^+ не впливає на ΔT_ϕ^- (у середньому 46°) і на ΔT_b^- (у середньому 20°).

Розчини складів II – IV прогрівали до 80°C , а потім проохолоджували. При охолодженні всі розчини починали кристалізуватися після досягнення ними визначеної для кожного розчину мінімальної температури T_{\min} в області переохолодження. Ця температура складала в середньому -8°C для розчину II, -12°C для III, -5°C для IV і -1°C для V відповідно. При цьому початкова стадія кристалізації повсюдно носила вибуховий характер, як і в чистого $\text{Na}_2\text{S}_2\text{O}_3 \cdot 5\text{H}_2\text{O}$. У результаті виділення теплоти кристалізації температура зразків на початковій стадії затвердіння швидко піднімалася від T_{\min} до температури $T_x = -4^\circ\text{C}$ (II), -10°C (III), $+5^\circ\text{C}$ (IV) і $+13^\circ\text{C}$ (V) відповідно. Таким чином, фіксувалися видимі переохолодження $\Delta T_b^- = T_x - T_{\min} = 4$ (II), 20 (III), 10 (IV) і 14° (V). Подальше затвердіння розчинів II – V йшло ізотермічно при відповідних температурах T_x .

Після охолодження зразків до -18°C їх знову прогрівали до 80°C . При нагріванні сумішей II – V на термограмах спостерігали перепади в районі температур $T_L^* = -2$ (II), $+10$ (III), $+31$ (IV) і $+43^\circ\text{C}$ (V) відповідно. Ці дані близькі до довідкового по температурах ліквідусу для цих сумішей [8] із середнім відхиленням від них на $\pm 2^\circ\text{C}$. Якщо відлік переохолоджень вести від температури ліквідусу T_L^* для розчинів II – V у системі $\text{H}_2\text{O} - \text{Na}_2\text{S}_2\text{O}_3 \cdot 5\text{H}_2\text{O}$, крім видимого ΔT_b^- фіксується і т.зв. фізичне переохолодження $\Delta T_\phi^- = T_L - T_{\min}$. Для розчинів II – V вони склали відповідно 5 (II), 2 (III), 21 (IV) і 42° (V).

Переохолодження ΔT_ϕ^- і ΔT_b^- варто відрізнити від концентраційних, що представляють різницю між температурою плавлення одного з чистих компонентів і температурою замерзання (ліквідусу) розчину з визначеною концентрацією другого компонента.

Зразок I – Вода. Раніше вода докладно була досліджена нами [10] на предмет впливу термічної передісторії на величину переохолодження ΔT_ϕ^- . Тому в контексті даної роботи іспиту води проводили лише для фіксації передкристалізаційного переохолодження в заданих у даній роботі умовах: маса води $4,0$ г, швидкість охолодження $0,08 - 1,0$ град/с, попередній перегрів $\Delta T^+ = 80^\circ\text{C}$. На рис. 1 праворуч, приведена крива охолодження води (I). На відміну від п'ятиводного тіосульфату натрію (VI) і його водних розчинів (зразки II – VI) при кристалізації води величина ΔT_ϕ^- виявлялася рівної видимому переохолодженню ΔT_b^- , тобто температура T_x завжди досягала 0°C . У цих умовах середнє фізичне переохолодження води складало $\sim 8^\circ$.

Отримані значення мінімальних температур T_{\min} початку кристалізації і відповідних переохолоджень ΔT_{ϕ}^- для усіх вивчених зразків I-VI у системі $H_2O - Na_2S_2O_3$ у частині, що відноситься до системи $H_2O - Na_2S_2O_3 \cdot 5H_2O$, нанесені на відповідну діаграму стану (рис. 1, ліворуч). З цього малюнка видно, що в міру наближення до евтектичного складу як ліворуч так і праворуч величини ΔT_{ϕ}^- закономірно зменшуються і досягають мінімальних значень $\sim 2^\circ$ для евтектичної суміші (III).

По рівнянню теплового балансу і по величині ΔT_{ϕ}^- були розраховані відносні концентрації α_2 зародків кристалів льоду в зразках I і II і п'ятиводного тіосульфату натрію в зразках IV-V. Ці дані приведені в таблиці 1.

Результати роботи можна трактувати з позицій кластерно-коагуляційної моделі кристалізації [11], а також структур кристалогідрата і рідкої фази. У структурі моноклінних кристалів ТСН-5 система водневих зв'язків розбита на чотири класи: дві сильні ($H_2O -$ кисень молекули $Na_2S_2O_3$), дві $H_2O - H_2O$ і три $H_2O - S$ [12]. При цьому один з атомів водню не бере участь у водневому зв'язку. При плавленні кристалогідрата $Na_2S_2O_3 \cdot 5H_2O$ відбувається поетапне руйнування кристалічного каркаса, починаючи від слабких зв'язків, у першу чергу, за рахунок дегідратації. У невеликому інтервалі температур вище T_L у водному розчині співіснують молекулярні фракції різного складу в тому числі і кристалоподібні кластери. Очевидно, що при охолодженні такого розчину, слабкі зв'язки між різними угрупованнями швидко відновлюються з утворенням солі ТСН, а її насичення водою до концентрації ТСН-5 відбувається при температурі T_S . Тому кристалізація в даному випадку носить квазірівноважний характер (рис. 1, крива 1). У міру підвищення температури в рідкій фазі відбувається подальше «дроблення»

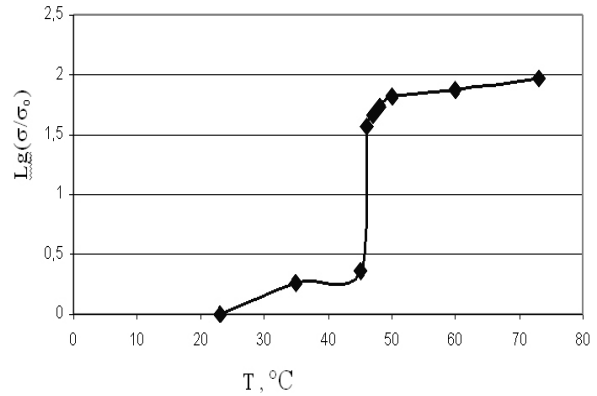


Рис. 4. Графік зміни відносної електропровідності ТСН-5 від температури.

молекулярних угруповань з одночасним утворенням іонів $Na^+, S_2O_3^-$. Про останній свідчать результати наших вимірів відносної електропровідності ТСН-5 у залежності від температури (рис. 4).

З цього рисунка видно різке збільшення (майже на два порядки) даної величини при плавленні за рахунок росту концентрації іонів Na^+ і $S_2O_3^-$. При більшій роздробленості структурних одиниць у розчині для кристалізації переохолодженої рідини потрібно визначений інкубаційний період τ_1 для відновлення зв'язків і утворення кристалічного каркаса, що відповідає в першу чергу безводної солі ТСН. Тому кристалізація відбувається з визначеним переохолодженням (рис. 1, крива 2), а ізотермічна гідратація ТСН до складу ТСН-5 йде при T_S . Та ж інтерпретація відноситься і до розчинів $Na_2S_2O_3 \cdot 5H_2O$ з водою (III-IV). Що стосується чистої води аналогічний підхід докладно описаний у роботі [10].

Таблиця 1.

Відносні концентрації α_2 зародків кристалів льоду та ТСН-5.

Параметри для розрахунку α_2	№ зразка				
	лід		ТСН-5		
	I	II	IV	V	VI
$\Delta T_{\phi}^-, K$	8	4	10	14	20
$c, kДж/кг \cdot K$	2,1	1,49	1,70	1,74	1,45
$L, kДж/кг$	334	334	140	140	140
α_2	0,050	0,018	0,121	0,174	0,2

[1] М. Фольмер. *Кинетика образования новой фазы*. Наука, М. 206 с. (1986).
 [2] В.П. Скрипов, В.П. Коверда. *Спонтанная кристаллизация переохлажденных жидкостей*. Наука. М. 230 с. (1984).
 [3] Д.Н. Холломон, Д. Торнбалл. Образование зародышей при фазовых превращениях // *Успехи физических наук*. Металлургия, М. Т.1С. 360 – 367. (1956).
 [4] Б.И. Кидяров. *Кинетика образования кристаллов из жидкой фазы*. Новосибирск. СО АН СССР. 132 с. (1979).
 [5] Я. Нывлт. *Кристаллизация из растворов*. Химия. М. 119 с. (1974).

- [6] В.Д. Александров, С.А. Фролова. Исследование переохлаждений при кристаллизации сплавов в системе In-Bi // *Материалы науч. конфер. «Стародубовские чтения 2003»*. Днепропетровск. Т. 1. С. 164 – 169. (2003).
- [7] В.Д. Александров, С.А. Фролова. Влияние термовременной обработки на плавление и кристаллизацию серы. // *Материаловедение*. № 10 С. 44 – 47. (2003).
- [8] А.Н. Киргинцев, Л.Н. Трушникова, В.Г. Лаврентьева. *Растворимость неорганических веществ в воде*. Химия. Л. С. 248. (1972).
- [9] И.Т. Гороновский, Ю.П. Назаренко, Е.Ф. Некряч. *Краткий справочник по химии*. Киев: АН УССР. 660 с. (1962).
- [10] В.Д. Александров, А.А. Баранников. «Термические эффекты при кристаллизации капель воды в естественных условиях» // *Журнал физ. химии*. Т. 74. № 4. С. 595 – 599. (2000).
- [11] В.Д. Александров, В.А. Постников. Анализ свободной энергии Гиббса при образовании кристаллов с реальной структурой при кристаллизации переохлажденных расплавов // *Физ. Химия*. № 2. С. 256. (2004).
- [12] V.M. Padmanbhan, V.S. Vadava, Q.O. Navarro and ather. Neutron diffractions study of sodium thiosulphate pentahydrate $\text{Na}_2\text{S}_2\text{O}_3 \cdot 5\text{H}_2\text{O}$ // *Acta crystallogr.* B. 27. № 2. P. 253 – 257. (1971).

V.D. Alecsandrov, O.V. Sable, M.V. Savencov

Research of the Before Crystallization Supercooling in the System Water - Pentahydrate Sodium Thiosulfate

*Donbass national academy of building and architecture
2, Dergavina Str, Makiivca, 86123, Ukraine, E-mail: cluck@mail.ru*

The given work is devoted to experimental research of the before crystallization supercooling and character of crystallization of sample in the system water - pentahydrate sodium thiosulfate by the method of cyclic thermal analysis.

Keywords: crystallization, pentahydrate sodium thiosulfate, supercooling, cyclic thermal analysis.